

大坂市立大学工学部 正員 ○根来 日出晴

" " 三瀬 貞

" " 山田 優

## 1. まえがき

舗装の供用性低下をもたらす破壊現象。1つめはアスファルト混合物のはく離は、舗装の破壊原因の調査から、夏期へ流動ならばに冬期のひび割れと密接な関係を持つことが判明している。しかし、このはく離現象については、実験的供用性と関連した試験方法がなまつたせいもあり、研究例が少なく、その発生のメカニズム、破壊に至るまでのプロセスなどについともまだ不明な点が多い。そこで本研究では、実在舗装に生じるはく離に類似した現象をアスコン供試体に発生させるために、文献1)の方法にならって、図-1に示すような状態で水浸W.T.Tとする)を行ない、この試験過程におけるはく離の進行に伴う混合物および混合物中のアスファルトの物理性状の変化を調べるとともに、水浸W.T.Tによるはく離の生じたアスコン供試体を用ひて、比較的低温領域において一定ひずみ速度の曲げ試験を行ない、はく離の進行に伴う混合物の曲げ破壊性状の変化を調べた。

## 2. 実験方法

本研究で使用した混合物は、13mm空粒度アスコン(中央粒度、最適As量=6.0%)であり、Pen.620のストレートAs.(Pen=68, T<sub>ref</sub>=48.4, Duct=100%)および天然の5, 6, 7号砂岩、スクリーニング、粗砂、細砂を単粒度にフレイ分けて使用し、フィラーには石灰岩粉末を使用した。

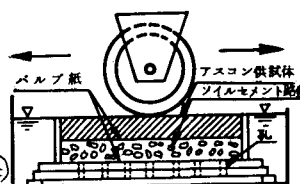


図-1 水浸W.T.Tの試験状態

水浸W.T.T供試体は、アスファルト舗装要構のW.T.T試験方法に従って作製した300×300×50mmのものであり、試験後、リックスレー法によるアスファルトの抽出試験、アブソニ法によるアスファルトの回収試験および曲げ試験を行なった。曲げ試験供試体は、水浸W.T.T終了後の供試体から、40×40×300mmに3面カットあるいは4面カットして切り出したものである。なお、水浸W.T.Tの試験条件および曲げ試験条件を表-1および表-2に示す。

## 3. 実験結果と考察

(文部省) 水浸W.T.Tの載荷走行時間に比例してはく離率が大きくなり、また、載荷走行(供試体全幅をトラバース走行する)による二重作用によること、供試体はかなり変形し、混合物の性状が変化するものと考えられる。はく離率と供試体の変形量および載荷走行時間の関には、図-2に示すようなかなり良い正の相関があるからである。

(1) 混合物の物理性状の変化 図-3より、供試体密度は、載荷走行時間が長くなるにつれて大きくなることが分かる。しかし、載荷走行時間程度ごとにほぼ理論最大密度に達しており、その後はあまり変化しない。従って、混合物の密度が最大となる頃から徐々にはく離が生じるものと考えられる。

表-1 水浸W.T.T条件

トラッキング速度	35回/min
トラッキング距離	30cm
トラバース速度	10cm/min
トラバース幅	25cm(全幅)
載荷圧	6.4kg/cm <sup>2</sup> =627kg/㎠
試験前の水浸	16hour(60℃)
試験温度	60℃
載荷走行	2, 4, 6 hour
はく離率	$\frac{S_b}{S_a+S_b} \times 100\%$

ここで  $S_a$  = はく離していない部分の面積(cm<sup>2</sup>)  
 $S_b$  = はく離している部分の面積(cm<sup>2</sup>)

表-2 曲げ試験条件と解析法

供試体寸法	40×40×300 mm (スペン長さ270mm)
ひずみ速度	5.49×10 <sup>-4</sup> (1/sec)
試験温度	-20℃ ~ +20℃
解析法	曲げ強度 $O_d = \frac{P_f}{d^3}$ , 破壊時のひずみを $\varepsilon_b$ , ひずみ速度を $\dot{\varepsilon}$ (1/sec) とすると $O_d = \frac{P_f}{d^3}, \varepsilon_b = \frac{4bd^3}{l^3}, \dot{\varepsilon} = \frac{6bd}{l^2}$ ここで $O_d$ : 供試体の幅(cm), $b$ : 供試体の厚さ(cm) $l$ : スパン長さ(cm), $d$ : 变位速度(mm/sec) $d_b$ : 破壊時のたわみ(cm), $P_f$ : 破壊時の荷重(kg)

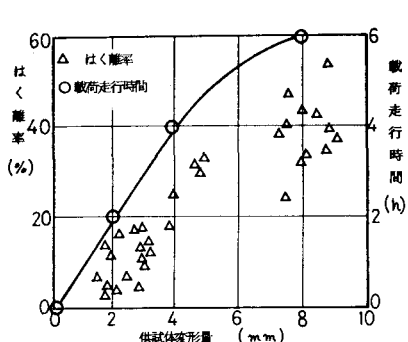


図-2 はく離率と供試体変形量と載荷走行時間の関係

図-4は、骨材からはく離したアスファルトが、路盤に浸透した形跡のひとつから、水浸W.T.T後供試体を上下に2分割してアスファルト量と調べた結果である。これより、載荷走行時間が長くなるにつれて、アスファルト量は、供試体上部では増加し、下部では減少している。これは、載荷走行によるその内部でのゼン断変形の繰り返しによる。アスファルトが供試体上部に移動したことによるものと考えられる。この供試体上部へのアスファルトの移動は、実在舗装においてはく離によつて運動現象の生じる可能性を裏付けるものと云えよう。また、骨材粒度については、フィーラー分がわずかに減少していた。

(2) 混合物中のアスファルト性状の変化 図-5～図-8は、水浸W.T.T後供試体から回収したアスファルトの針入度、軟化点、伸度およびフーラース破壊点と載荷走行時間の関係を示す。これより、アスファルトは、載荷走行時間に比例して老化する傾向がある。しかし、実際に数年間舗装として供用され、破壊した混合物から得られるアスファルトほど老化は進んでいない。

(3) 混合物の曲げ破壊性状の変化 図-9および図-10は、水浸W.T.Tによつて供試体下面にはく離した混合物の $\delta_b-T$ 曲線および $E_b-T$ 曲線を示す。 $\delta_b-T$ 曲線により、下面をオットしない3面カットの供試体は平面オットのものより、脆化点が高温側へ移行している。さらに、はく離率が大きくなるにつれて少しずつ高温側へ移行している。また、 $\delta_b$ ははく離率が小さい場合には、はく離していないうちより大きくなり、はく離率が大きい場合には $\delta_b$ が小さくなる。特に低温側での低下が著しい。はく離率が小さい場合、はく離の影響よりも、密度の増加やアスファルト性状の変化による方が大きいにみえる。 $\delta_b-T$ 曲線より、3面カット(はく離率0%)のものは、平面オットより低温側となり $\delta_b$ が小さくなる。また、はく離率が大きくなるにつれて、より低温側では徐々に小さくなる。しかし、はく離率が小さい場合、高温側では逆に大きくなる。これは、水浸W.T.T中の供試体上部のアスファルト量の増加に起因するものと考えられる。

#### 4. 結論

以上の結果から、今回の水浸W.T.Tは、実在舗装に発生するはく離のメカニズムを検討する際、有効な方法であるといえる。また、はく離した混合物の曲げ破壊性状は、はく離の発生過程での混合物の性状の変化に大きく左右されることが分った。

参考文献  
1) 小島吉郎: 土木技術資料 19-4, 1977.  
2) 計算機三葉、山田: 第3回日本建築学会年次講演会論文集  
3) 久保田、三浦義也: 道路と橋梁 1975年冬号

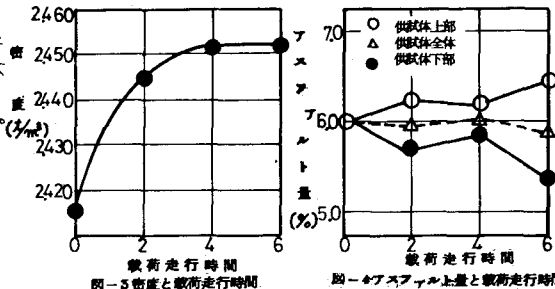


図-4 供試体上部と載荷走行時間

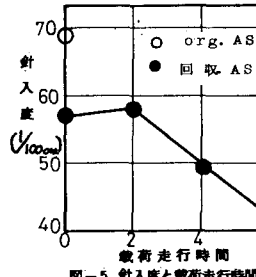


図-5 針入度と載荷走行時間

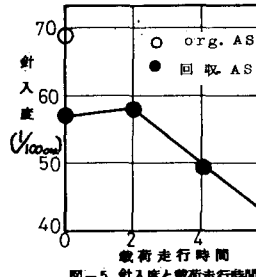


図-6 軟化点と載荷走行時間

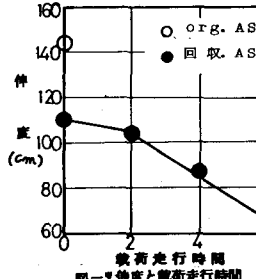


図-7 伸度と載荷走行時間

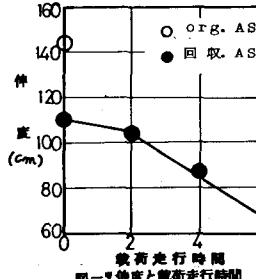
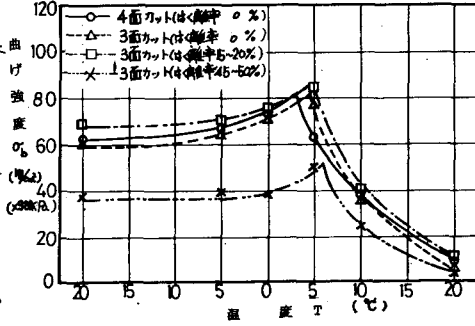
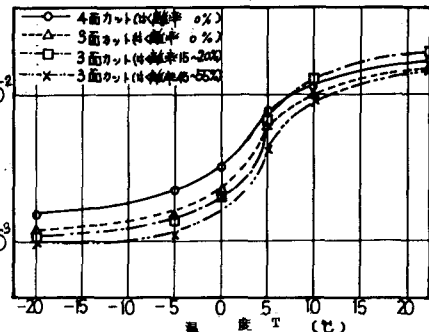


図-8 フーラース破壊点と載荷走行時間

図-9 はく離した混合物の $\delta_b-T$ 曲線図-10 はく離した混合物の $E_b-T$ 曲線